文章编号: 1001-411X (2001) 01-0056-04

转基因水稻外源基因的遗传和表达初步研究

简玉瑜¹, 陈远玲¹, 李 静¹, 高丽丽¹, 董 春²

(1 华南农业大学生物技术学院,广东广州510642;2 华南农业大学资源环境学院,广东广州510642)

摘要:将天蚕抗菌肽 B基因应用基因枪法导入水稻 TN_1 发芽种胚,获得转基因植株 2 株. 转基因水稻 $T_1 \sim T_5$ 5 个世代不同株系,对 bar 基因、抗菌肽基因的遗传和表达进行初步研究. 结果表明: 转基因后代株系 bar R^1 : bar R^2 大部分符合 3 · 1 分离比率. $T_1 \sim T_4$ 转基因株系 PCR。Southern 印迹分析表明: T_1 8 株有抗菌肽 B基因; T_4 仍有 4 个株系有抗菌肽基因,其他的株系基因丢失. T_3 1 个株系 Northern 印迹证明抗菌肽基因在 RNA 水平有表达; 抗菌肽 B 转基因水稻对白叶枯病的抗病性有提高, 抗性能传递到高世代,在 T_3 得到抗病性提高的株系.

关键词: 天蚕抗菌肽 B 基因; bar 基因; 基因枪转化; 水稻; 转基因植株; 白叶枯病中图分类号: S330; Q78 文献标识码: A

水稻是世界上最重要粮食作物之一. 应用转基因技术, 培育高抗、优质新品种, 创造传统育种方法难以获得的、具有重要经济价值的新种质. Zhan 成功地获得水稻转基因植株以来, 水稻的遗传转化技术逐渐完善和发展; 特别是 Christou^[1], Cao 等^[2] 利用基因枪法转化水稻取得了成功. 本研究报道 1994 年采用基因枪法将天蚕抗菌肽 B 基因导入高感白叶枯病品种 TN_1 , 获转基因植状 ³; 1994~1999 年对 T_1 ~ T_5 转基因株系, 观察其对 bar 基因及白叶枯病的抗性; 通过后代株系分子检测, 观察抗菌肽 B 基因遗传传递情况; 试图探明抗菌肽 B 基因改良水稻白叶枯病抗性的可行性.

1 材料与方法

1.1 转基因后代种植、Basta 筛选及白叶枯病抗病检测通过基因枪转化,已将天蚕抗菌肽 B 基因导入国际上公认的高感白叶枯病品种 TN₁,获 4 株转基因植株; 2 株结实. 1995~1999 年在华南农业大学遗传工程室控制区域内盆栽种植转基因水稻 5 个世代. T₁ 种植 315 株. T₂ 根据抗病性和分子检测阳性的选54 株系,每株系种植 20 个单株. T₃ 选 25 株系,每株系种植 9 株. T₄ 选 23 株系,每系种 15 株. T₅ 选 9 株系,每系种 15 株. T₂ ~T₅ 各株系是由系内每单株随机取一定数量的种子混合,播前用 Basta(10 mg/L)发芽筛选. 每年插秧后 1 个月(孕穗初期),用华南优势白叶枯菌 IV型菌株 X∞-812接种;接种前在 PSA 培养基上 28 ℃培养 72 h,用无菌水稀释至 3× 10 ℃ fu/mL;

采用剪叶法接种,每株接 $4\sim5$ 片叶子. 接种后 7 d 测量病斑的长度, 21 d 调查发病情况并分级. 各世代所用的菌种及接种水平、方法均同.

分级标准如下: 0级——hR 剪口处无明显病斑; 1级——R 病斑长度 2~3 cm 或病斑面积小于叶片面积 10%; 2级——mR 病斑长度小于接种叶长的 1/4或病斑面积小于 20%; 3级——mS 病斑长度达到 1/4,但小于 1/2,或病斑面积在 20%~40%之间; 4级——S 病斑长度达到 1/2,但小于 3/4,或病斑面积在 20%~70%之间; 5级——hS 病斑长度达 3/4,或病斑面积大于 75%.

1.2 转基因株系分子检测

参照 McCouch 等的方法抽提叶的 DNA. 天蚕抗菌肽 B 扩增引物 1 与 2 详见文献 [3]. DNA 斑点杂交,分别抽提质粒及抗性愈伤组织 DNA,点于尼龙膜上,处理后进行杂交,经洗膜压 X 光片显影. 转基因 $T_1 \ T_4$ 代 PCR 和 Southern 及 T_3 的 RNA 的 Northern,均 参照 Sambrook 的方法进行.

2 结果

2.1 转基因后代对 bar 基因抗性

 $T_1 \sim T_5$ 以世代计算 bar^R 与 bar^S 分离株数比率和 χ^2 检验结果见表 1, TN_1 -1 的 T_4 、 T_5 和 TN_1 -2 的 T_2 、 T_3 bar^R 与 bar^S 的分离比率符合 3 · 1, 而 TN_1 -2 的 T_4 、 T_5 bar^R 的比率有逐步增加的趋势, R/S 达 5 · 1. 以 TN_1 -2 的个别 $T_2 \sim T_5$ 株系计算 bar^R 分离比率和 χ^2 检验(表2), 大部分符合 3 · 1.

表 1 TN_1 转基因株系 $T_1 \sim T_5$ bar R 基因表达的分离 1)

Tab. 1 Segregation of Basta-resistant plants in transgenic $T_1 \simeq T_5$ lines of TN_1

| 株系 | 世代 | 调查株数 | bar ^R 株数 | D/C | γ2 |
|-----------------------|-------|--------------|---------------------------|----------|--------------------|
| plant line generation | | No. of plant | bar ^R of plant | R/S | χ |
| TN ₁ −1 | T_1 | 176 | 102 | 1. 38:1 | 26. 37 |
| | T_2 | 346 | 280 | 4. 24:1 | 6. 16 |
| | T_3 | 435 | 260 | 1. 49:1 | 53.00 |
| | T_4 | 290 | 231 | 3. 92:1 | 3. 10 [†] |
| | T_5 | 250 | 182 | 2. 68:1 | 0. 53 [†] |
| $TN_{1}^{-}2$ | T_1 | 146 | 84 | 1. 36:1 | 22. 83 |
| | T_2 | 871 | 628 | 2. 58:1 | 3. 74 [†] |
| | T_3 | 810 | 600 | 2. 87:1 | 0. 32 [†] |
| | T_4 | 440 | 376 | 5. 82:1 | 25. 09 |
| | T_5 | 200 | 169 | 5. 45 :1 | 9. 12 |

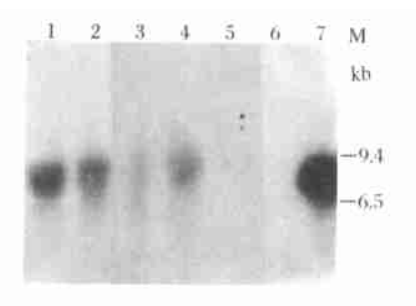
1) χ²= 3.841, †)χ² 测验分离比率符合 3:1

表 2 TN_{Γ} 2 个别株系 $T_2 \sim T_5$ bar^R的 χ^2 测定

Tab. 2 χ^2 test of Basta-resistant plants in transgenic $T_2 \sim T_5$ different lines of $TN_{\Gamma}2$

| 株系 plant line | T ₂ | T ₃ | T ₄ | T ₅ |
|-----------------------|------------------|--------------------|-------------------|--------------------|
| TN ₁ -2-17 | 0.00^{\dagger} | 0. 04 [†] | 3.84 [†] | 5. 23 |
| TN_{1} -2-61 | 0.07^{\dagger} | 1. 60 [†] | 1.67^{\dagger} | 0. 96 [†] |
| TN_1 -2-72 | 3.24^{\dagger} | 6.40 | 0.07^{\dagger} | 0. 10^{\dagger} |

†)χ²测验分离比率符合3:1



- 1. TN₁-2-20.2. TN₁-2-12.3. TN₁-2-35.
- 4. TN1-2-9.5. PPT-resistant callus.
- 6. CK ,7.CK +

图 1 T. 基因组 DNA 的 Southern 印迹分析

Fig. 1 Southern blot analysis of T₁ genomic DNA

2.3 转基因后代对白叶枯病抗病性检测

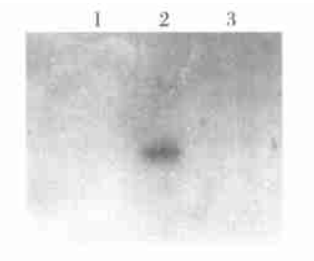
 T_0 接种白叶枯病菌,叶子的病斑长度比对照缩短,说明转基因当代植株比对照抗病。 T_1 种植 315 株,抗病性有分离, $23\% \sim 25\%$ 株系抗级比对照高,其中 17% 株系抗级显著提高。 T_2 种植 54 个株系,调查 19 个株系,每系调查 20 株,结果见表 4. 21 d 后调查病级,抗病类型在中抗 (mR) 和中感 (mS) 之间,而对照品种 TN_1 平均病级为 $4\sim 5$ 级。 大多数 T_2 株系病斑长度比对照缩短,病级比对照降低。但各株系间抗病性有差异。

2.2 转化植株分子检测结果

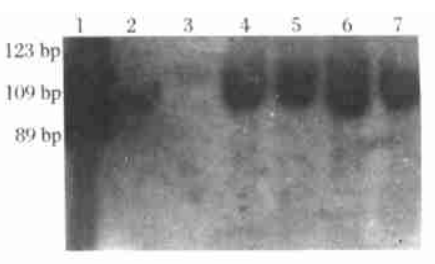
2 株 TN_1 转化植株,经过斑点杂交和 2 次 Southern 印迹检测,均呈阳性,表明抗菌肽基因已整合到 TN_1 的 T_0 基因组中. T_1 用 PCR 检测抗性植株,检测的 13 株,9 株具有抗菌肽特异扩增带. 对 PCR 阳性植株的总 DNA 用 *Hind* II酶切进行 Southern 印迹分析: 检测 13 株中,8 株呈阳性(其中 TN_1 -1,2 株; TN_1 -2,6 株)(图 1).

选取 TN_1 转基因 T_2 , 抗病性强、 T_1 PCR 及 Southern 阳性株系 2 个,剪取 T_3 株系叶片,进行 Northem 印迹分析.结果其中 1 个株系 (TN_1-2-9) 有特异 mR-NA 表达,分子长度为 $400 \sim 600$ nt; 证明抗菌肽基因可遗传到 T_3 代,并在 RNA 水平上得到表达.而 TN_1-1-11 没有表达(图 2).

 T_4 检测 T_1 9 个阳性的株系,只有 2 个呈阳性.检测其他 14 个 T_3 株系,也有 2 个呈阳性.PCR 阳性株系进行 Southern 分析,也呈阳性.这 4 个株系均来自 TN_1 -2 $(TN_1$ -2-17, TN_1 -2-21, TN_1 -2-61, TN_1 -2-72) (图 3).从多代分子检测中(表 3)证明抗菌肽基因可遗传到 T_3 、 T_4 代,但不稳定有丢失.



1. CK-, 2. TN₁-2-9, 3. TN₁-1-11 图 2 T₂ 总 RNA 的 Northern 印迹分析 Fig. 2 Northern blot analysis of total RNA from T₂



- PCB6.2. CK ,3. TN₁-2-61,4. TN₁-2-72,
 TN₁-2-50,6. TN₁-2-21,7. TN₁-2-17
- 图 3 T₃、T₄ 基因组 DNA 的 Southern 印 迹
- Fig. 3 Southern blot analysis of T₃, T₄ genomic DNA

系数都较原品种大. 说明株系内植株间差异大. 根据株系与对照的显著性测定结果, 其中 8 个株系 t 值为 6.48, 达到极显著水平. 为了了解白叶枯病世代间抗性的传递情况, 对 9 个株系 $T_3 \sim T_5$ 的病斑长度作了 t-检验(成对双样本均值分析、表 5). 综合 4a 观察结果, 发病的高低与当年气候条件关系很大, 高温、高湿、多雨、寡照和强风是诱发白叶枯病暴发流行的气象要素. T_3 在高温、高湿、寡照条件下, 对照发病重, 有 10 个株系病斑长度显著比原品种短; 其他年份对照发病轻, T_4 仅有 1 个株系病斑比原品种短, T_5 转基因系与对照的病斑长度无显著差异. 转

 TN_1-2-72

基因 T₂~T₅ 世代间抗病性并不相关,未发现高抗和 免疫类型; 大多数是中抗、中感类型,抗性比对照提 高一级.

表 3 TN₁ 转基因 $T_1 \sim T_4$ 分子检测的结果 Tab. 3 PCR and Southern hybridization analysis

of different transgenic $T_1 \sim T_4$ lines of TN_1 T_1 T_{4} T_3 株系 PCR Southern plant lines PCR Southern PCR Southern +TN₁-1-1 TN_1-1-9 + TN_1-1-11 TN_1-1-18 TN_1-1-19 TN_1-1-20 TN_1-2-9 TN_1-2-12 TN_1-2-17 TN_1-2-20 TN_1 -2-21 TN_1-2-35 ++ TN_1-2-50 TN_1-2-61

表 4 TN_1 转基因 T_2 株系对白叶枯病的抗性测定 $^{1)}$

Tab. 4 Resistant level of transgenic T_2 plantlines of TN_1 to Bacterial blight after inoculation

| 株系 | 病斑平均长度 average | 株系 | 病斑平均长度 average | |
|-------------------------|------------------|-----------------------|------------------|--|
| plant lines | lesion length/cm | plant lines | lesion length/cm | |
| TN ₁ - 1- 1 | 1.88 | TN ₁ -2-3 | 1.80 | |
| $TN_{1}\!^-1\!^-5$ | 2.00 | TN₁-2-7 | 1.09 | |
| TN_1 –1-9 | 2.05 | TN₁-2-9 | 1.09 | |
| TN ₁ - 1-11 | 1.67 | TN₁-2-10 | 1.10 | |
| TN ₁ - 1- 12 | 1.96 | TN₁-2-12 | 2.70 | |
| TN ₁ - 1-18 | 1.17 | TN ₁ -2-15 | 1.65 | |
| TN ₁ - 1- 19 | 1.30 | TN₁-2-17 | 0.96 | |
| TN ₁ -1-20 | 2.73 | TN₁-2-20 | 1.14 | |
| TN ₁ -1-22 | 1.99 | TN ₁ -2-21 | 1.47 | |
| TN₁- 1- 14 | 2. 15 | TN ₁ -(CK) | 2. 67 | |
| | | | _ | |

1) 平均病斑长度为接种后7 d调查

转基因后代中观察白叶枯病菌侵染速度,与华志华^[4] 观察相似,侵染速度明显可分为 2 个阶段. 感病初期,抗病性提高的株系,对接种白叶枯病菌表现出一定的抗性,病斑长度缩短,这可能是抗菌肽 B 基因起作用,对白叶枯病菌繁殖有抑制. 感染后期,由于人工接种细菌呈对数增长,接种的白叶枯病菌快速繁殖,转基因植株体内表达的抗菌肽 B 不能完全

抑制病原菌,接种后 14 d 病斑长度与原品种差异不大,个别甚致超过对照.

表 5 转基因 TN_1 的 $T_3 \sim T_5$ 代株系病斑平均长度 t-检验 $^{1/2}$ Tab. 5 t-test of a verage lesion length in transgenic $T_3 \sim T_5$ lines of TN_1

| 株系 plant line | T ₃ | T ₄ | T ₅ |
|-----------------------|----------------|----------------|----------------|
| | | • | |
| TN ₁ - 1-1 | 1. 86 ** | 2.33 | 2. 02 |
| TN ₁ -1-9 | 3. 07 ** | 2.60 | 1. 88 |
| TN_{1} – 1– 11 | 6. 79 ** | 2. 18 | 2. 29 |
| TN_{1} – 1– 18 | 3. 03 ** | 2.21 | 2. 03 |
| TN_1 - 1-20 | 4. 06 ** | 1.74 * | 2. 50 |
| TN_1 -2-7 | 2. 66 ** | | |
| TN ₁ -2-9 | 9. 15 | 2.07 | 1. 78 |
| TN ₁ -2-10 | 5. 69 ** | | |
| TN_{1} -2-17 | 9. 46 | 1.92 | 2. 11 |
| TN_1 -2-20 | 13. 20 | 2.03 | 1. 4 |
| TN_{1} -2-21 | 2. 20 ** | 2.61 | 2. 23 |
| TN_1 -2-61 | 3. 46 ** | 2.54 | 3. 29 |
| TN_{1} 2-72 | 3. 36 ** | 2.22 | 1. 99 |
| TN ₁ CK | 9. 44 | 2.53 | 1. 24 |
| 1) | | | |

1) T_3 : n-1=8 t=5. 041; T_4 : n-1=14, t=2. 145; **表示株系病斑平均长度与对照成对双样本均值 t 检验为极显著; *为显著

3 讨论

转基因植物中外源基因能否稳定遗传和表达是 关系到转基因技术实用化的关键问题. 抗菌肽 B 转 基因水稻, 有 2 个外源基因, 即选择标记基因 bar 和 抗菌肽 B 基因. bar 基因在转化时经多轮选择,后代 每年均用 Basta 筛选, bar 基因在 T₁~T₅ 能稳定保持 3 1比率; 反映作为一个显性基因传递给后代, 遵循 孟德尔自花受粉后代表现 3:1 分离规律. 而抗菌肽 B 与 bar 基因构建在同一质粒, 我们以转基因植株自 交后代结合 Southern blot 检测,分析抗菌肽基因在后 代中的遗传传递情况. T₁ 检测 13 个株系 8 个阳性, Southern 阳性比率为 1. 6 ·1, 比 3 ·1 低. T₃、T₄ 分别检 测 14 个和 9 个株系, 各得 2 个阳性, 比率更低. 抗菌 肽基因与 bar 虽然位于同一质粒, 但后代不是协同分 离,其共表达频率很低. TN₁-1 和 TN₁-2 是同一质粒 的不同转基因系,表达效率明显不同. T4 中TN1-1全 部株系没检测到抗菌肽基因, TN1-2 只有 4 个株系有 抗菌肽基因. 致于抗菌肽基因与白叶枯病抗性关系 更复杂. 以病斑长度比较转基因株系对白叶枯病抗 性,病斑长度受当年气象条件影响很大. 7 d 对照病 斑平均长度, T3 发病严重, 病斑长; T4、T5 发病轻, 病

斑短. 以对照品种的病斑长度与转基因株系作比较,

T₃ 差异显著, T₄、T₅ 差异不显著. 另外 T₄、T₅ 有些株 系,抗菌肽基因存在与白叶枯病抗性并不直接相关. 检测阳性株系,白叶枯病抗性与对照相仿,抗菌肽基 因似沉默: 而连续表达抗性提高的株系, 抗菌肽基因 却丢失. 这与 Srivastava^[5] 在小麦转化株系 2B-2 中观 察的结果一样,转基因自交一代能表达,自交二代仅 能检测到,自交三代发生了丢失,用 Southern blot 没 有检测到外源基因的存在. 基因丢失表明基因组中 有些特定 位点对转 基因可遗 传的稳定 整合是 不利 的. Florack [6] 曾指出, 作物抗细菌病的遗传过程中, 应用抗菌肽 B基因取决于 3 个因素: 即基因表达, 抗 菌肽的合成水平要足以杀死病菌以及抗菌肽分泌到 病菌生存地方. 抗菌肽结构基因仅 108 bp, 编码 36 个氨基酸残基,分子小,容易被蛋白酶降解;由于缺 乏高水平杀菌物质,抗病性提高不显著,苏金⁷提出 转基因工作者将要面临的2个任务是:第一,如何确 保在转基因植株中至少 5 个世代之内不发生转基因 沉默现象,并维持高水平的稳定表达, 第二, 使用包 括诱导型启动子在内的特异性启动子, 以实现特殊 需求为目标的不同转基因的有效表达. 目前植物转 基因往往多拷贝、多位点、随机地整合、甲基化,传递 过程中转基因很可能发生基因丢失, 多拷贝基因间 作用会导致基因沉默,只有解决这些问题,才能使转 基因植物中外源基因实现最佳表达. 说明应用抗菌 肽基因工程改良水稻白叶枯病抗性还有许多问题需

要进一步去解决.

参考文献:

- [1] CHRISTOU P, FORD T L KOFRON M. Production of transgenic rice (Oryza sativa L) plant from agronomically important Indica and Japonica varieties via electric discharge particle acceleration of exogenous DNA into immature zygotic embryos [J]. Bio/ Technology, 1991, 9: 957—962.
- [2] CAO J, DUAN X, MCELORY, et al. Regeneration of herbicide resistant transgenic rice plants following microprojectile midated transformation of suspension culture cells[J]. Plant Cell Rep. 1992, 11: 586—591.
- [3] 简玉瑜, 吴新荣, 莫豪葵, 等. 应用基因枪将蚕抗菌肽基因导入水稻获抗白叶枯病株系[J]. 华南农业大学学报, 1997, 18(4): 132—141.
- [4] 华志华, 汪晓玲, 薛 锐, 等. Cecropin B 转基因水稻及 其后代抗白叶枯病研究初报[J]. 中国水稻科学, 1999, 13(2):114—116.
- [5] SEIVASTAVA V, VASIL I K. Molecular characterization of the fate of transgenes in transformed wheat[J]. There Appl Genet, 1996, 92; 1031—1037.
- [6] FLORACK D, AILEFS S, BOILEN R, et al. Expression of giant silkmoth cecropin B genes in tobacco[J]. Transgenic Research, 1995, 4: 132—141.
- [7] 苏 金, TARCOLI J, 吴乃虎, 等. 在转基因植物中实现外源基因最佳表达的途径[J]. 生物工程进展, 1999, 19 (4): 3-6.

Primary Studies on Inheritance and Expression of Foreign Gene in Transgenic Rice

JIAN Yu-yu 1 , CHEN Yuan-ling 1 , LI Jing 1 , GAO Li-li 1 , DONG Chun 2 (1 College of Biotechnology, South China Agric. Univ. , Guangzhou 510642, China

2 College of Resources & Environmental Sciences South China Agric. Univ., Guangzhou 510642, China)

Abstract: Two transgenic plants transformed with cecropin B gene using biolistic method were generated from germinative embryo of rice variety TN₁. The inheritance and expression of bar and cecropin B gene in different transgenic plantlines of TN₁ from 5 generation of T₁ to T₅ were primary studied. Results showed that the segregation ratio of bar R: bar was 3 in the results of PCR and Southern blot analysis indicated that eight of T₁ and four of T₄ transgenic lines had cecropin B gene, the other plantlines of T₄ showed lost of cecropin gene. One of T₃ transgenic line expressed at mRNA level by Northern blot. The resistance to bacterial blight delivered from cecropin B transgene could be segregated and transmitted to high generation, resistance- improved plantlines were obtained in T₃ generation.

Key words: cecropin B gene; bar gene; biolistic method; rice; transgenic plants; bacterial blight

【责任编辑 柴 焰】